

## ارزیابی تنوع ژنتیکی گندم دوروم (Triticum turgidum var. durum) با استفاده از نشانگرهای رتروترانسپوزونی (SSAP)

سجاد رشیدی منفرد<sup>۱\*</sup>، عبدالهادی حسین زاده<sup>۱</sup>، محسن مردی<sup>۲</sup>، محمد رضا نقوی<sup>۱</sup> و سید مصطفی پرسیدی<sup>۲</sup>

(تاریخ دریافت: ۸۶/۳/۶؛ تاریخ پذیرش: ۸۶/۹/۲۷)

### چکیده

تنوع ژنتیکی گیاهان زراعی اصلی همانند گندم دوروم با گذشت زمانی کاهش پیدا کرده است. ارزیابی تنوع ژنتیکی در کارایی حفاظت از ژرم پلاسم و کاربرد آن حائز اهمیت می‌باشد. در این مطالعه ۸۷ ژنوتیپ بومی دوروم متعلق به مناطق مختلف ایران و ۲۱ ژنوتیپ خارجی از ۱۰ کشور با استفاده از ۱۰ ترکیب آغازگری SSAP ارزیابی شدند. رتروترانسپوزون‌ها توالی‌های متحرک در داخل ژنوم می‌باشند که از طریق یک RNA حدوداً سطح در داخل ژنوم جایه‌جا می‌شوند و توزیع بسیار زیلیدی در ژنوم دارند به همین دلیل در سال‌های اخیر نشانگرهای مولکولی براساس آنها طراحی شده است. نشانگرهای SSAP مورد استفاده در این تحقیق شامل *Tar1*, *Thv19*, *Tagemina*, *BARE-1*, *Thv19M+ACA* در نمونه‌های ایرانی و خارجی دارای بیشترین میزان باند چند شکل (۱۱ باند چند شکل) بود. میزان چند شکلی مشاهده شده توسط هر کدام از نشانگرهای بالا در ژنوتیپ‌های بومی به ترتیب ۷/۲۶٪، ۳/۲۷٪، ۵/۱۵٪ و ۴/۲۴٪ می‌باشد. ترکیب آغازگری *Thv19M+ACA* در نتایج نشان می‌دهد که *Thv19*, *Thv19M+ACA* در فرایندهای تکاملی گیاه مورد نظر ژنوتیپ‌های خارجی ۴/۲۴٪، ۳/۲۴٪، ۵/۱۵٪ و ۸/۲۸٪ می‌باشد. این نتایج نشان می‌دهد که *Tar1* در فرایندهای تکاملی گیاه مورد نظر بیشتر جایه‌جا شده‌اند. دندوگرام بر اساس الگوریتم UPGMA و ضریب تشابه دایس ترسیم شد.

واژه‌های کلیدی: تنوع، گندم دوروم، رتروترانسپوزون، SSAP

### مقدمه

همانند گندم دوروم با گذشت زمانی کاهش پیدا کرده است، در ابتدا این کاهش به خاطر فرایندهای اهلی کردن گیاه بود و اخیراً به واسطه به کارگیری ژرم پلاسم یک‌نواخت و اصلاح شده می‌باشد<sup>(۱)</sup>. برآورده تنوع ژنتیکی در محصولات زراعی، نقش بسیار مهمی در پیشبرد برنامه‌های اصلاحی و حفاظت از منابع ژنتیکی دارد. که از طریق صفات مورفو‌لوزیکی، بررسی شجره‌ها و نشانگرهای مولکولی میسر می‌گردد. نشانگرهای مولکولی ابزار بسیار مناسبی برای بررسی روابط بین ژنوتیپ در بسیاری از

گندم دوروم یکی از مهم‌ترین غلات دانه ریز می‌باشد و عمدهاً مصرف انسانی دارد. در سال‌های اخیر این گیاه به خاطر محصول قابل قبول و سازگاری به میزان آب کم، شرایط آب و هوای خشک و نیمه خشک و محصول نهایی با ارزش، مورد بازبینی مجدد قرار گرفته است<sup>(۲)</sup>. میزان تولید محصول گندم دوروم در سال ۲۰۰۵ حدود ۲۶ میلیون تن برآورد شده است<sup>(۳)</sup>. اعتقاد بر این است که تنوع ژنتیکی گیاهان زراعی اصلی (عمده)

۱. به ترتیب دانشجوی سابق کارشناسی ارشد و دانشیاران زراعت و اصلاح نباتات، پردیس کشاورزی و منابع طبیعی، دانشگاه تهران، کرج

۲. به ترتیب استادیار و کارشناس مؤسسه تحقیقات بیوتکنولوژی کشاورزی، بخش ژنومیکس، کرج

\*: مسئول مکاتبات، پست الکترونیکی: Rashidims@ut.ac.ir

ژنتیپ‌ها مورد بررسی قرار گرفته است(۱). با توجه به وجود تنوع ژنتیکی بسیار زیاد مشاهده شده در نمونه‌های بومی گندم دور روم هم چنین با توجه به این که هر نشانگر قسمتی از سطح زنوم را پوشش می‌دهد، برای این که بتوانیم اطلاعات دقیق‌تر و مطمئنی در مورد روابط ژنتیکی گندم دور روم به دست بیاوریم باید از نشانگرهای مختلف جهت پوشش مناسب سطح زنوم استفاده شود. نشانگرهای رتروترانسپوزونی SSAP به خاطر پراکنش فراوان در سطح زنوم مخصوصاً نواحی یوکروماتینی پوشش ژنومی مناسبی را ایجاد می‌کند و جهت بررسی تنوع ژنتیکی نشانگر مناسبی می‌باشد.

اهداف تحقیق: ۱- تخمین روابط ژنتیکی بین ژنتیپ‌های بومی و واریته‌های خارجی گندم دور روم ۲- شناسای نواحی از کشور که حداقل تنوع را دارند. ۳- تبیین استراتژی نمونه‌گیری این گیاه در مناطق مختلف و کمک به حفاظت از تنوع ژنتیکی آن می‌باشد.

## مواد و روش‌ها

### مواد گیاهی و استخراج DNA

در این تحقیق ۱۰۸ ژنتیپ دور روم که از بانک ژن دانشکده کشاورزی دانشگاه تهران فراهم شده بود، مورد استفاده قرار گرفت که شامل ۸۷ ژنتیپ بومی دور روم از نقاط مختلف ایران به همراه ۲۱ رقم متعلق به ۱۰ کشور خارجی بودند(جدول ۱).

### نشانگرهای رتروترانسپوزون مورد استفاده

نشانگرهای رتروترانسپوزونی به کار گرفته شده در این تحقیق از گروه *Ty<sub>1</sub>-copia* شامل *BARE-1*، *Tagermina* (*Tar1* ۵'-CTCCCAGTTGACCAACAA-3') *Thv 193* (5'CTAGGGCATAATTCCAACA3') (5'-AGAGGAGGATATCCCAACAT-3') *Tar1* ۵'-GCCCAACCGACCAGGTTACAG3') *Thv 193* بودند (۱۰، ۱۵، ۲۰ و ۲۳).

### تجزیه SSAP

مراحل کار بر اساس روش واف و همکاران استخراج

محصولات زراعی می‌باشند و به عنوان یک ابزار تکمیلی به همراه نشانگرهای مورفولوژیکی و فیزیولوژیکی، در بررسی روابط فیلوجنتیکی مدد نظر می‌باشند. زیرا تحت تأثیر شرایط محیطی نبوده و تعداد آنها بسیار فراوان است، هم‌چنین در هر مرحله از رشد گیاه می‌توان از آنها استفاده نمود (۱۳). رتروترانسپوزون‌ها عناصر اصلی متحرک در زنوم گیاهان هستند و از طریق یک RNA حد واسط در زنوم جایه‌جا می‌شوند. (۹). دو گروه اصلی از رتروترانسپوزون‌های گیاهی بر اساس وجود و یا عدم وجود توالی تکراری طویل انتهایی (Long Terminal Repeat LTR) در آنها قابل تشخیص می‌باشند. رتروترانسپوزون‌های LTR دار که بیشترین مطالعه در آنها انجام شده است مشتمل بر *1-2 Ty<sub>1</sub>-copia* و *2-2 gypsy* مگز که به ترتیب ابتدا در مخمر (ساکارومایسیس سرویسیه) و مگز سرکه مشاهده شدند، تقسیم می‌شوند. آنها در گیاهان به وفور دیده شده و نسبت بالای از ژنومی گیاه را به خود اختصاص داده‌اند. در ذرت ۸۰-۹۰٪ در گندم به طور کامل رتروترانسپوزون‌های LTR دار در زنوم گیاهان پراکنده بوده و کپی‌های بسیار زیادی را دارا می‌باشند (۱۰ و ۱۴). هم‌چنین آنها در کل طول کروموزوم قرار دارند؛ یعنی هم در نواحی هتروکروماتینی و هم در نواحی یوکروماتینی قرار دارند (۵ و ۱۹). به خاطر گستردگی و فراوانی آنها در ژنوم‌های گیاهی می‌توان از آنها به عنوان نشانگرهای ملکولی استفاده کرد، که دارای چندشکلی بسیار بالای می‌باشند و آغازگرهای را براساس نواحی LTR آنها طراحی نمود. چندین نوع نشانگر ملکولی مبتنی بر رتروترانسپوزون‌ها وجود دارد که پرکاربردترین آنها نشانگر ملکولی SSAP (sequence-specific amplified polymorphism) می‌باشد که توسط واف و همکاران معرفی شد. از این نشانگر جهت بررسی تنوع ژنتیکی گیاهان مختلف همچون جو (۲۳ و ۱۰)، نخود (۷)، ذرت (۶)، یونجه (۱۶) استفاده شده است. با استفاده از نشانگرهای SSR (۲) و AFLP تنوع ژنتیکی این

جدول ۱. لیست ژنوتیپ‌ها و محل جمع‌آوری آنها

شماره	ژنوتیپ	محل	شماره	ژنوتیپ	محل
۷۷	بومی	کرمانشاه	۸۳	بومی	خوی
۷۹	بومی	کرمانشاه	۸۶	بومی	نهاوند
۱۴۰	بومی	کرمانشاه	۱۲۸	بومی	نهاوند
۱۳۱	بومی	کرمانشاه	۸۸	بومی	تولیسرکان
۱۲۹	بومی	کرمانشاه	۸۹	بومی	تولیسرکان
۱۲۷	بومی	کرمانشاه	۸۴	بومی	منجبل
۱۲۶	بومی	کرمانشاه	۹۴	بومی	شاه آباد
۱۲۵	بومی	کرمانشاه	۹۷	بومی	شاه آباد
۹۳	بومی	کرمانشاه	۹۸	بومی	شاه آباد
۹	بومی	کرمانشاه	۸۷	بومی	شاه آباد
۱۴	بومی	کرمانشاه	۲۵	بومی	مهاباد
۱۹	بومی	کرمانشاه	۷۳	بومی	مهاباد
۳۷	بومی	کرمانشاه	۱۰۴	بومی	مهاباد
۳۸	بومی	کرمانشاه	۱۰۷	بومی	رستم آباد
۴۳	بومی	کرمانشاه	۱۰	بومی	شیراز
۶۷	بومی	کرمانشاه	۲۹	بومی	شیراز
۱	بومی	گلپایگان	۷۲	بومی	تبریز
۲	بومی	بهبهان	۶۸	بومی	آریا
۲۸	بومی	بهبهان	۱۰۲	بومی	آریا
۳	بومی	بروجرد	۱۵	بومی	خرمشهر
۱۱	بومی	بروجرد	۱۷	بومی	خرمشهر
۱۶	بومی	بروجرد	۲۰	بومی	خرمشهر
۱۸	بومی	بروجرد	۱۰۰	بومی	کرمان
۲۰	بومی	بروجرد	۱۰۵	بومی	میانه
۳۱	بومی	بروجرد	۴۴	رقم	روسیه
۲۷	بومی	بروجرد	۴۵	رقم	روسیه
۲۶	بومی	خرم آباد	۵۱	رقم	مجارستان
۳۳	بومی	خرم آباد	۵۲	رقم	مجارستان
۳۹	بومی	خرم آباد	۵۳	رقم	مجارستان
۱۰۸	بومی	ایلام	۵۴	رقم	مجارستان
۱۳۰	بومی	ایلام	۵۰	رقم	مجارستان
۱۳۳	بومی	ایلام	۴۹	رقم	مجارستان
۱۳۴	بومی	ایلام	۴۶	رقم	مجارستان
۱۳۷	بومی	ایلام	۴۷	رقم	سوریه
۱۳۸	بومی	ایلام	۶۳	رقم	سوریه
۱۳۹	بومی	ایلام	۴۸	رقم	ترکیه
۱۳۵	بومی	ایلام	۵۷	رقم	مصر
۸۱	بومی	همدان	۵۶	رقم	مصر
۸۵	بومی	همدان	۵۹	رقم	الجزایر
۹۶	بومی	همدان	۶۱	رقم	مکزیک

ادامه جدول ۱

مکریک	رقم	همدان	همدان	بوومی	۹۲
مکریک	رقم	اهواز	اهواز	بوومی	۱۰۳
هند	رقم	اهواز	اهواز	بوومی	۶۲
لیبی	رقم	اهواز	اهواز	بوومی	۵۸
مراکش	رقم	اهواز	اهواز	بوومی	۶۰
		اهواز	اهواز	بوومی	۲۱
		اهواز	اهواز	بوومی	۲۴
		اهواز	اهواز	بوومی	۳۴
		اردبیل	اردبیل	بوومی	۱۲۳
		اردبیل	اردبیل	بوومی	۱۲۴
		اردبیل	اردبیل	بوومی	۱۲۲
		اردبیل	اردبیل	بوومی	۹۹
		اردبیل	اردبیل	بوومی	۷
		اردبیل	اردبیل	بوومی	۳۲
		شوش	شوش	بوومی	۴
		شوش	شوش	بوومی	۸
		شوش	شوش	بوومی	۳۵
		شوش	شوش	بوومی	۳۶
		شوش	شوش	بوومی	۴۱
		شوش	شوش	بوومی	۴۲
		قصر شیرین	قصر شیرین	بوومی	۱۳۶
		قصر شیرین	قصر شیرین	بوومی	۱۳۲
		رضاییه	رضاییه	بوومی	۸۲

انجام شد، ۲۳ چرخه بعدی نیز بدین صورت انجام شد (دقیقه ۲ ۹۴ °C ۳۰ s, ۵۴ °C ۳۰s, ۷۲°C ۲ بیورد مدل (Sequi-Gen GT MA) انجام شد. تجزیه داده‌ها با استفاده از نرم‌افزار NTSYSpc محاسبه گردید و دندوگرام بر اساس الگوریتم UPGMA و ضریب تشابه دایس ترسیم شد.

## نتایج و بحث

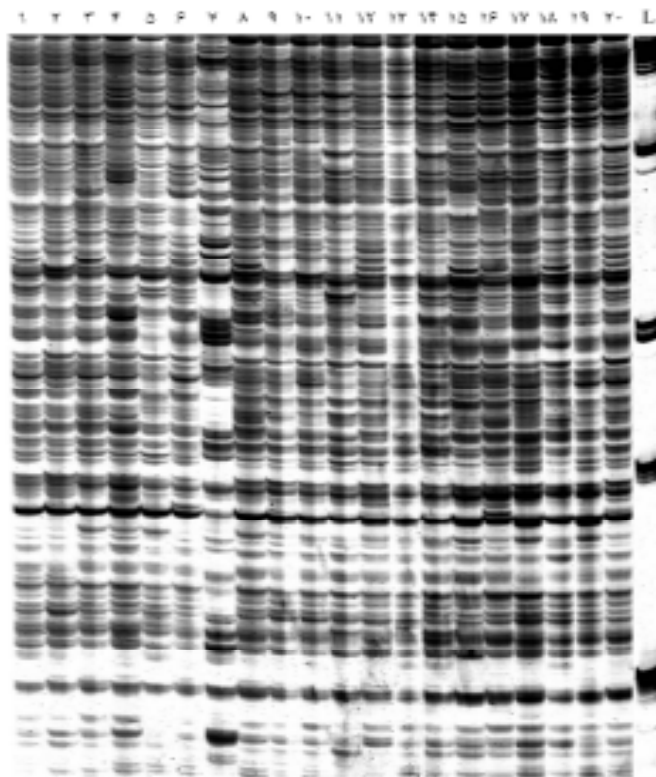
### امتیاز دهنده باندها

در این تحقیق ۱۰ ترکیب آغازگری مورد استفاده قرار گرفت. در مجموع ۲۲۶ باند SSAP امتیاز دهنده شد (جدول ۲) و از بین آنها ۷۴ باند چند شکل بودند (شکل ۱). که از ۳ تا ۱۱ باند چند شکل در هر ژل متغیر بود. بیشترین چند

DNA با استفاده از کیت (QIAGEN DNAse) شرکت QIAgent انجام شد. کیت و کیت DNA با استفاده از اسپکتروفوتومتری تعیین شد. بدین صورت انجام شد. ابتدا DNA ژنومی استخراج شد و با استفاده از آنزیم‌های برشی *MseI* و *EcoRI* برداش داده شد. سپس آداتورها مربوطه به قطعات حاصل از هضم آنزیم متصل گردید و مرحله تکثیر ابتدایی همانند AFLP صورت گرفت. اما تکثیر اصلی بین دو آغازگر بر اساس نواحی LTR رتروترانسپوزون‌ها و آداتور مربوط به *MseI* با دو و سه نوکلئوتید انتخابی انجام شد. چرخه حرارتی شامل یک مرحله واسرشت سازی اولیه در دمای ۹۴ درجه و به مدت ۳۰ ثانیه، ۱۰ چرخه اول به صورت تاچ داون انجام شد به طوری که در هر چرخه دمای اتصال ۱ درجه سانتی گراد کاهش یافت (۵۳-۷۲ °C) و مرحله بسط آغازگری در دمای ۶۳ به مدت ۲ دقیقه

جدول ۲. خلاصه از باندهای نمره داده شده SSAP در نمونه‌های ایرانی و خارجی

ردیف	نام و نشانه	تعداد کل	تعداد باندهای چند شکل		درصد چند شکلی	
			باندهای ایرانی	باندهای خارجی	ایرانی	خارجی
۱	Thv19\M+ACA	۱۸	۱۱	۷	۶۱	۳۹
۲	Tagermina \M+ACA	۱۷	۳	۱۴	۱۷/۶	۱۷/۶
۳	Thv19\M+CAT	۱۵	۶	۹	۴۰	۶۰
۴	Tar1\M+CG	۲۰	۶	۱۴	۳۰	۷۰
۵	Tar1\M+ACA	۲۵	۸	۱۷	۳۲	۶۷
۶	BARE1\M+CAT	۳۳	۹	۲۴	۲۷/۲	۷۳/۲
۷	BARE1\M+ACA	۲۸	۹	۱۹	۳۲/۱	۶۸/۵
۸	BARE1\M+CG	۲۵	۵	۲۰	۲۰	۶۰
۹	Tagermina \M+CAT	۲۰	۷	۱۳	۳۵	۶۵
۱۰	Tar1\M+CAT	۲۵	۹	۱۶	۳۶	۶۴



شکل ۱. نمونه ژل حاصل از آغازگر BARE1 روی تعدادی از ژنوتیپ‌های بومی ایران (۱۷). کرمانشاه، ۱۵، ۱۶، ۱۷، ۲، ۳، ۵، ۷، ۱۸، ۲۰، ۹، ۱۰، ۱۱، ۱۴، ۱۵، ۱۶، ۱۷، ۱۸، ۱۹، همدان، ۲، نهادوند).

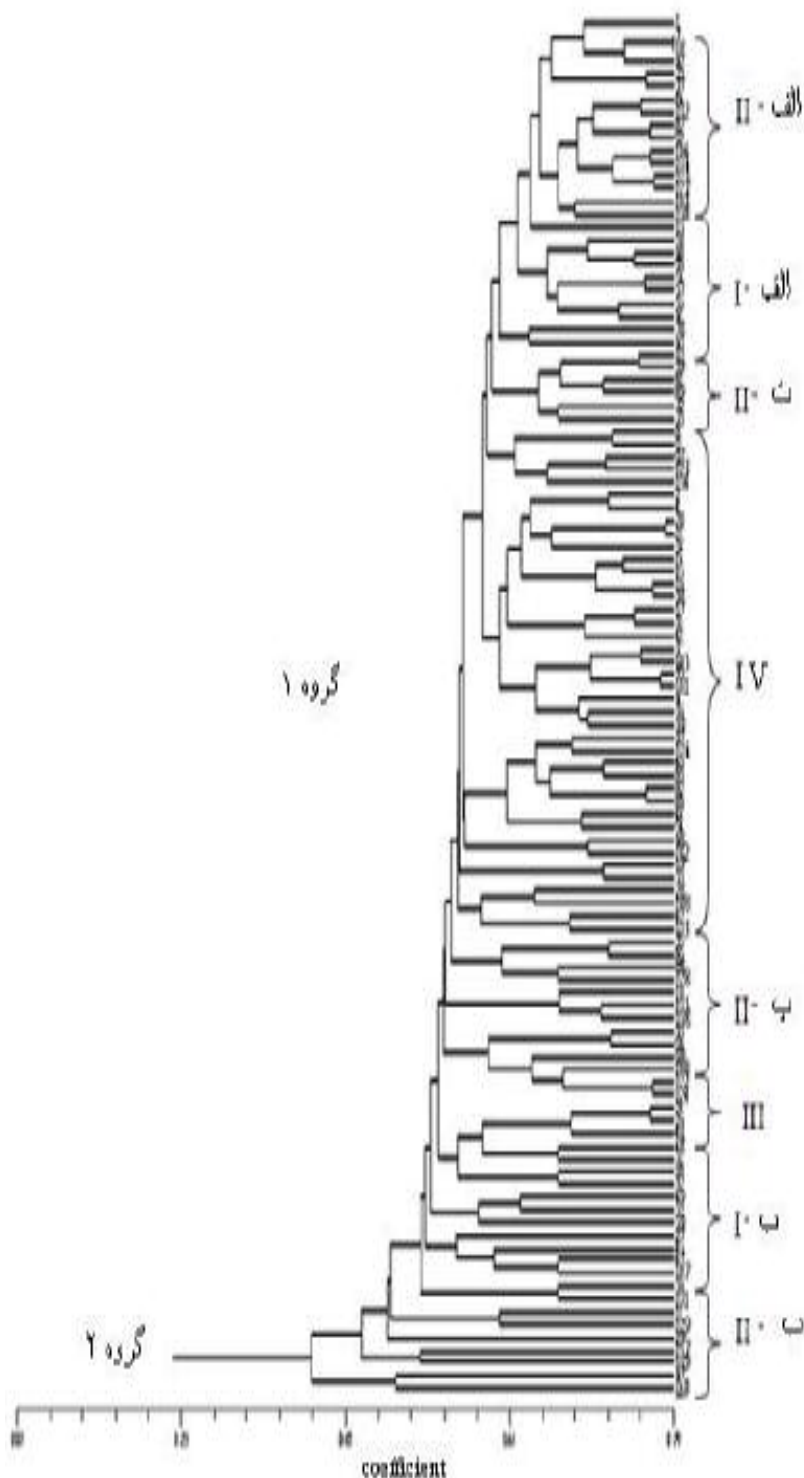
جفت آغازگر اختصاصی *Tagermina/M+ACA* با ۳ باند چند شکل بود. میانگین تعداد باندهای چند شکل در ژنتوتیپ‌های

شکلی در ژنوتیپ‌های بومی مربوط به جفت آغازگر اختصاصی *Thv19/M+ACA* با ۱۱ باند چندشکل و کمترین تعداد مربوط به

شکلی ۲۵٪ بیشتر از نشانگرهای AFLP مشاهده شد. با استفاده از AFLP نشانگرهای ۲ SSR گروه و چهار زیر گروه و نشانگرهای نیز ۲ گروه و ۴ زیر گروه مجزا به دست آمد. اما این نشانگر ژنتیپ‌ها را در دو گروه کلی و زیر گروه‌های زیادی قرار داد. دو ژنتیپ که از کرمانشاه جمع‌آوری شده بود در گروه ۲ و بقیه ژنتیپ‌ها (ایرانی و خارجی) در گروه اول قرار دارند. ژنتیپ‌های جمع‌آوری شده از غرب کشور (لرستان، ایلام، کرمانشاه، همدان) به صورت ۴ دسته مجزا با میزان شباهت‌های متفاوت خوشبندی شدند (II-الف، ب، پ، ت). ژنتیپ‌های خارجی هم به صورت دو دسته کاملاً مجزا از هم‌دیگر قرار گرفتند (I-الف، ب). تفسیری که برای این می‌توانیم داشته باشیم این است که این ژنتیپ‌ها با ژنتیپ‌های بومی ایران دارای نیای مشترک نیستند یا می‌توان گفت که گندم‌های دوروم موجود در ایران بومی کشور بوده، امیدبخش (۲)، احکامی (۱) به ترتیب با استفاده از ۳۷ جفت آغازگر SSR و ۱۸ ترکیب آغازگری AFLP به این نتیجه رسیدند که ژنتیپ‌های خارجی با ایرانی دارای قرابت ژنتیکی کمی هستند. در بین ژنتیپ‌های که از مناطق غیر از غرب کشور جمع‌آوری شده بودند، ژنتیپ‌های حاصل از اردبیل تنها در یک گروه مجزا قرار گرفتند (III). ممکن است که این ژنتیپ‌ها دارای اجداد متفاوت با دیگر ژنتیپ‌ها موجود در کشور به خصوص غرب کشور باشند. البته با توجه به فاصله و عرض جغرافیایی متفاوت چنین چیزی بعيد به نظر نمی‌رسد. بین ژنتیپ‌ها کرمانشاه و دیگر مناطق غرب کشور قرابت ژنتیکی زیادی وجود دارد (V). در بین مناطق غرب کشور کرمانشاه دارای بیشترین میزان تنوع ژنتیکی است. به طوری که ژنتیپ‌ها، ایلام، لرستان، همدان، همراه با ژنتیپ‌های حاصل از کرمانشاه خوشبندی شدند. در واقع به دلیل فاصله نزدیک بین این مناطق امکان جایه‌جایی این ژنتیپ‌ها از استان کرمانشاه به استان‌های هم‌جوار وجود دارد. ژنتیپ‌هایی که از خوزستان جمع‌آوری شده بودند با ژنتیپ‌های حاصل از ایلام، کرمانشاه، و خرم آباد قرابت زیادی داشتند. در واقع به دلیل نزدیکی این مناطق به هم‌دیگر می‌توان گفت: ژنتیپ‌های این مناطق دارای اجداد

بومی ۷/۳ و در ارقام زراعی ۶/۷ بود. درصد چند شکلی در ژنتیپ‌های بومی از ۲۰٪ (BARE1\M+CG) تا ۶۱٪ (Thv19\M+ACA) متغیر بود. در ارقام خارجی این میزان از ۱۶٪ (BARE1\M+CG) تا ۷۴٪ (BARE1\M+ACA) بود. جهت بررسی و ارزیابی روابط ژنتیکی ژنتیپ‌های نمودار خوشبندی براساس ۷۴ باند چند شکل به دست آمد (شکل ۲).

میزان چند شکلی مشاهده شده در هر کدام از نشانگرهای Tar1, Thv19, Tagermina, BARE-1 SSAP بومی به ترتیب ۲۶٪، ۳۰٪، ۵۱٪، ۳۲٪ و ۵۱٪ در ژنتیپ‌های خارجی ۴٪، ۲۸٪، ۵۱٪، ۴٪، ۲۴٪ می‌باشد (جدول ۳). در این تحقیق سطح چند شکلی کمتری را نسبت به دیگر رتروترانسپوزون‌ها نشان دادند؛ این نتایج نشان می‌دهد که Tar1 در فرایند‌های تکامل گیاه مورد نظر بیشتر جایه‌جا شده‌اند. زیرا توانسته‌اند در طی تکامل داخل ژنوم بیشتر جایه‌جا شوند و نسخه‌های بیشتری از خود را در داخل ژنوم ایجاد کنند. این نتایج نشان می‌دهد که رتروترانسپوزون‌های Ty-Copia سطح متفاوتی از چند شکلی را در گندم دوروم نشان می‌دهند. البته در مطالعات قبلی که روی گیاهان ذرت، جو، گندم نان انجام گرفته بود نیز چنین نتایجی دیده شد (۱۱، ۲۳ و ۲۵). قدرت جدا سازی ژنتیپ‌ها توسط این نشانگر بیشتر از دو نشانگر AFLP و SSR و روی همین ژنتیپ‌ها استفاده شده بوده می‌باشد (۱۰). میانگین تعداد باند چند شکل برای هر جفت آغازگر در نشانگرهای AFLP، SSR و SSAP به ترتیب ۸، ۸/۴ و ۳/۶ می‌باشد. در نتیجه میزان چند شکلی‌ها توسط این نشانگر با توجه به تعداد آغازگر کمتر بیشتر از دو نشانگر AFLP و SSR که روی همین ژنتیپ‌ها استفاده شده بوده می‌باشد. در تحقیقاتی که بهوسیله واف و همکاران (۲۳) و الیس و همکاران (۷) با استفاده از نشانگرهای SSAP به ترتیب ۲۵٪ بیشتر از روی جو و نخود انجام شد میزان چند شکلی این نشانگرهای AFLP مشاهده شد. در تحقیقاتی که بهوسیله واف و همکاران (۲۳) و الیس و همکاران (۷) با استفاده از نشانگرهای SSAP به ترتیب روی جو و نخود انجام گردید، میزان چند



شکل ۲. نمودار خوشه‌ای ۱۰۸ ژنوتیپ گندم دوروم با استفاده از داده‌های حاصل از تجزیه ۱۰ ترکیب آغازگر اختصاصی نشانگر SSAP و ضریب تشابه دایس و الگوریتم UPGMA. I-الف، ب، گروه گندم‌های دوروم خارجی، II-ب، پ، ت، گروه گندم‌های دوروم جمع‌آوری شده از غرب کشور، III-ژنوتیپ‌های جمع‌آوری شده از اردبیل، IV-ژنوتیپ‌های جمع‌آوری شده از دیگر مناطق کشور

## جدول ۳. متوسط چند شکلی نشانگرهای رتروترانسپوزونی در ژنتیپ‌های گندم دوروم مورد استفاده دوروم

ردیف	شماره	رتروترانسپوزون	تعداد کل باندها	تعداد باندهای چند شکل	درصد چند شکلی %	برومی رقم	
						برومی رقم	%
۱	Thv19		۳۳	۱۷	۵۱/۵	۵۱/۵	
۲	Tagermina		۳۷	۱۰	۲۷/۲	۲۴/۳	
۳	Tar1		۷۰	۲۳	۳۲/۸	۲۸/۵	
۴	BARE1		۸۶	۲۳	۲۶/۷	۲۴/۴	

الحالات رتروترانسپوزون‌ها یک حادثه بیولوژیکی است؛ یعنی رتروترانسپوزون‌ها در گیاهان مختلف تحت تأثیر استرس‌های زنده و غیر زنده فعال شده و در ژنوم جابه‌جا می‌شوند (۱۱) و بدین‌وسیله تولید موتاسیون‌های در ژنوم کرده و میزان بیان ژن‌های اطراف ناحیه الحاق را تحت تأثیر قرار می‌دهند به همین دلیل نقش بسیار مهمی را در تکامل گیاهان بازی کرده‌اند (۲۱). (۲) الحاق رتروترانسپوزون‌ها غیر قابل برگشت است در واقع حضور یک حادثه بیولوژیکی بوده که در طی تاریخ تکاملی گیاه حاصل یک حادثه بیولوژیکی بوده که در طی تاریخ تکاملی گیاه روی داده است (۲۱). در گذشته محدودیت اصلی به کار بردن LTR این نشانگرها به خاطر در دسترس نبودن توالی RTR رتروترانسپوزون‌ها مختلف بود. ولی در سال‌های اخیر با کمک تکنیک‌های جدید و سریع، توالی بسیاری از LTR مشخص (۱۸) و این محدودیت نیز رفع شده است.

### سپاسگزاری

کلیه هزینه‌های این تحقیق از محل اعتبارات طرح مصوب "شناسایی نشانگرهای Informative برای صفات مهم زراعی در گندم دوروم" توسط پژوهشکده بیوتکنولوژی کشاورزی تأمین شده است که بدین‌وسیله سپاسگزاری می‌گردد.

مشترک باشند که با گذشت زمان و تحت تأثیر شرایط متفاوت محیطی (استرس‌های غیر زنده) عناصر ژنتیکی متحرک به میزان متفاوتی در آنها بیان شده و تا حدودی از همدیگر متفاوت شده‌اند. در مورد مناطق دیگر ایران مانند کرمان، شیراز، تبریز، شمال کشور (به غیر از اردبیل)، گروه‌بندی مشخصی به دست نیامده (IV) بلکه این ژنتیپ‌ها در بین ژنتیپ‌های غرب کشور به خصوص استان کرمانشاه منبع تنوع ژنتیکی گندم دوروم می‌باشد. اما باید توجه داشت برای این که بتوانیم یک استراتژی جامع در مورد نمونه‌گیری گندم دوروم از مناطق مختلف کشور داشته باشیم باید از داده‌های حاصل از چندین نشانگر استفاده نمود تا با این کار سطح بیشتری از ژنوم را پوشش داده و تصمیم‌گیری‌ها به واقعیت نزدیک‌تر باشد. میانگین ضریب تشابه بین ژنتیپ‌ها (برومی) در نشانگرهای SSAP، AFLP و SSR ۰/۳۷، ۰/۵۶ و ۰/۵۰ بود. با توجه به این که رتروترانسپوزون‌ها در نواحی حفظ شده ژنومی قرار دارند و این نواحی تغییرپذیری کمی دارند، این نتایج بعید به نظر نمی‌رسد.

نشانگرهای SSAP داده‌های تاکسونومیکی را فراهم می‌آورند که سازگاری بیشتری با معیارهای جغرافیایی و مورفولوژیکی نسبت به نشانگرهای AFLP دارند (۷). زیرا:

## منابع مورد استفاده

۱. احکامی، ا. ح، م. مردی، م. ر. نقوی، س. م. پیرسیدی، م. کاظمی، ه. ایراندوست و ع. حسین زاده. ۱۳۸۵. بررسی قرابت ژنتیکی گندم دوروم (*Triticum durum*) با استفاده از نشانگرهای AFLP. مجله علوم کشاورزی ایران ۳۸(۱): ۲۵-۳۵.
۲. امید بخش فرد، م. ا. م. مردی، م. ر. نقوی، م. ر. قنادها، م. کاظمی و س. م. پیرسیدی. ۱۳۸۵. بررسی تنوع ژنتیکی گندم دوروم (*Triticum durum L.*) با استفاده از نشانگر ریزماهواره. مجله علوم کشاورزی ایران ۳۸(۲): (در دست چاپ).
3. Allard, R.W. 1996. Genetic basis of the evolution of adaptedness in plants. *Euphytica* 92: 1–11.
4. Berenyi, M., T. Gichuki, J. Schmidit and K. Burg. 2002. Ty1-copia retrotransposons-based SSAP (sequencr – specific amplified polimorphism)for genetic analysis of sweet potato. *Theor. Appl. Genet.* 105: 862-869
5. Castilho, A., A. Vershinin and J.S. Heslop-Harrison. 2000. Repetitive DNA and the chromosomes in the genome of oil palm (*Elaeis guineensis*). *Ann. Bot.* 85: 837–844.
6. Casa, A.M., C. Brouwer, A. Nagel., L. Wang, Zhang, S. Kresovich and S.R. Wessler. 2000. The MITE family Heartbreaker ( Hbr): molecular markers in maize. *Proc. Natl. Acad. Sci. USA.* 97:10083–10089.
7. Ellis, T.H.N., I.J. Poyser, M.R. Knox, A.V. Vershinin and M.J. Ambrose. 1998. Ty1 copia class retrotranspon insertion site polymorphism for linkage and diversity analysis in pea. *Mol. Gen. Genet.* 260: 9–19.
8. Flavell, R.B. 1986. Repetitive DNA and chromosome evolution in plants. *Philos Trans R Soc Lond B Biol Sci.* 312:227-242
9. Flavell, A.J., E. Dunbar, R. Anderson, S.R. Pearce, R. Hartley and A. Kumar. 1992. Ty1-copia group retrotransposons are ubiquitous and eterogeneous in higher plants. *Nucleic. Acids. Res.* 20: 3639–3644.
10. Gibbon, B.M., SR. Kalendar, A. H. R Schulman., L. Paulin, P. Jack, A. Kumar and A. J. Flavell. 1999. Phylogeny and transpositional activity of Ty1- copia group retrotransposons in cereal genomes. *Mol. Gen.Genet.* 261:883–891
11. Grandbastien, M.A. 1998. Activation of plant retrotransposons under stress conditions. *Trends Plant Sci.* 3:181–187
12. Kubis, S., T. Schmidt and J.S. Heslop-Harrison. 1998. Repetitive DNA elements as a major component of plant genomes. *Ann. Bot.* 82: 45–48.
13. Manifesto, M.M., A.S. Schlatter, H.E. Hopp, E.Y. Suarez and J. Dubcovky. 2001. Quantitative evaluation of genetic diversity germplasm using molecular markers. *Crop. Sci.* 41: 682–690.
14. Martos, V., C. Royo, Y. Rharrabti and L.F. Garcia del Moral.2005. Using AFLPs to determine phylogenetic relationships and genetic erosion in durum wheat cultivars released in Italy and Spain throughout the 20th century. *Field. Crop. Res.* 91: 107–116
15. Matsuoka, Y. and K. Tsunewaki. 1997. Presence of wheat retrotransposons in Gramineae species and the origin of wheat retrotransposon families. *Genes. Genet. Sys.* 72:335–343.
16. Porceddu, A., E. Albertini, G. Barcaccia, G. Marconi, F.B. Bertoli and F. Veronesi. 2002. Development of S-SAP markers based on an LTR-like sequence from *Medicago sativa* L. *Mol. Genet. Genomi* 267:107–114
17. Purugganan, M.D and S.R. Wessler. 1994. Molecular evolution of magellan, a maizeTy3/gypsy-like retrotransposon. *Proc. Natl. Acad. Sci. USA.* 91:11674–78
18. Pearce, S.R., C.M. Stuart-Rogers, A. Kumar, T.H.N. Ellis and A.J. Flavell. 1999. Rapid isolation of plant Ty1-copia group retrotransposon LTR sequences for molecular marker studies. *Plant.J.* 19:711–17
19. Pearce, S.R., M. Knox, T.N.H. Ellis, A. J. Flavell and A. Kumar. 2000. Pea Ty1-copia group retrotransposons: transitional activity and use as markers to study genetic diversity in *Pisum*. *Mol. Gen. Genet.* 263: 898–907.
20. Queen, R., B. Gibbon, C. James, P. Jack and A. Flavell. 2004. Retrotransposons-based molecular markers for linkage and genetic diversity analysis in wheat. *Mol. Gen. Genet.* 271:91–97
21. Shapiro, J. 1999. Transposonsable elements as the key to a 21st century view of evolution. *Genetica* 107:171-179.
22. SanMiguel, P., Y.K. A. TikhonovJin, N. Motchoulskaia, D. Zakharov, A. Melake-Berhan, P. S. Springer, K. J. Edwards, M. Lee., Z. Avramova and J.L. Bennetzen 1996. Nested retrotransposons in the intergenic regions of the maize genome. *Science* 274:765-768.
23. Waugh, R., K. McLean, A. J. Flavell, S.R. Pearce, A. Kumar, B. B. T. Thomas and W. Powell. 1997. Genetic distribution of Bare-1-like retrotransposable elements in the barley genome revealed by sequences-specific amplification polymorphisms (S-SAP). *Mol. Gen. Genet.* 253:687–694.
24. USDA Drought in EU. 2005. Northwest Africa Cause Global Durum To Sharply Drop. Production Estimates and Crop Assessment Division Foreign Agricultural Service. 202: 720-733.
25. Xiong, Y. and T.H. Eickbush. 1990. Origin and evolution of retroelements based upon their reverse transcriptase sequences. *EMBO J.* 9: 3353–3362.